

Effects of PEGylated Silver Nanoparticles on the Structure, Function, and Concentrations of Different Forms of Hemoglobin

Samane Zolghadri Jahromi ^{1,*}, Ali Akbar Saboury ²

1. Department of Biology, Jahrom Branch, Islamic Azad University, Jahrom, Iran

2. Institute Of Biophysics and Biochemistry, Tehran University

(Received: 2017/02/11 Accept: 2018/05/12)

Abstract

Background: The material is always covered by proteins immediately upon contact with a physiological environment. Hemoglobin (Hb) is one of the major blood proteins. Due to the entry of substances into blood, hemoglobin may interact with them. The interaction between Hemoglobin and ligands such as nanoparticles is very important and may cause structural and functional changes on Hemoglobin. According to the recent studies, PEG (poly ethylene glycol) coated nanoparticles have better biocompatibility compared with non-coated nanoparticles, thus the present study was conducted to investigate the interaction of PEG-silver nanoparticles with hemoglobin.

Materials and Methods: In the present experimental study, various spectroscopic methods, including UV Visible, fluorescence, and Circular Dichroism (CD), were used to evaluate the interaction of silver nanoparticles with polyethylene glycol coating and hemoglobin. Using these methods, the effects of nanoparticles on the second structure and variations in the alpha helix and beta sheets of the protein, as well as changes in the third structure, and thus the change in the protein function, were investigated.

Results: The results of fluorescence spectroscopy and UV/Vis absorption spectroscopy indicated that the structure of the Trp residue environments was altered and the physiological functions of Hb were affected by silver nanoparticles coated with poly ethylene glycol. It could also be suggested that due to the binding of silver nanoparticle to Hb, some conformational changes are induced, enhancing the hydrophobicity. These nanoparticles have increased the ratio of deoxy and decreased hemoglobin tendency to oxygen. This increase in the highest concentration of nanoparticles is six times as common.

Conclusion: The results showed that PEGylated silver nanoparticles lead to secondary structural changes and hemoglobin unfolding. Therefore, PEGylated silver nanoparticles decrease the hemoglobin function by decreasing the hemoglobin tendency toward oxygen. As a result, silver nanoparticles may cause the molecular toxicity of proteins. Considering the results obtained and the importance of nanoparticles biosafety, it is suggested that by changing the coating, size, or shape of nanoparticles and optimizing them, the possible side effects of nanoparticles on the structure and function of the protein can be prevented.

Keywords: Silver Nanoparticle; Hemoglobin; Interaction

*Corresponding author: Samane Zolghadri Jahromi
Email: Z.jahromi@ut.ac.ir

بررسی آثار نانوذرات نقره به فرم پگیله بر ساختار، عملکرد و غلظت فرم‌های مختلف هموگلوبین

سمانه ذوالقدیری جهرمی^{۱*}، علی اکبر صبوری^۲

۱- گروه زیست شناسی، واحد جهرم، دانشگاه آزاد اسلامی، جهرم، ایران
۲- مرکز تحقیقات یووژیمی بیوفیزیک، دانشگاه تهران، تهران، ایران

تاریخ دریافت مقاله: ۱۳۹۵/۱۱/۲۳ تاریخ پذیرش مقاله: ۱۳۹۷/۲/۲۲

چکیده:

سابقه و هدف: مواد همیشه در برخورد با یک محیط فیزیولوژیک به سرعت از سوی پروتئین‌ها احاطه می‌شوند. هموگلوبین هم که یکی از پروتئین‌های مهم و کاراز خون به شمار می‌آید، به دلیل ورود مواد به خون ممکن است با آنها وارد برهم کشن شود. اندرکنش لیگاندتها با این مولکول بسیار مهم است و این احتمال وجود دارد که در اثر اتصال لیگاند‌های مختلف از جمله نانوذرات با هموگلوبین، تغییرهایی در ساختار سوم آن ایجاد شود که سبب تغییر در عملکرد آن شود. با توجه به این که فرم پگیله نانوذرات دارای سازگاری زیستی مناسب‌تری نسبت به نانوذرات بدون پوشش است، در این تحقیق بررسی اندرکنش نانوذرات نقره به فرم پگیله با هموگلوبین خون انجام شده است.

مواد و روش‌ها: در این مطالعه تجربی، از روش‌های مختلف طیف‌سنجه شامل مرئی ماورای بنفس، فلورسانس و دورنگ‌نمایی حلقوی برای ارزیابی اندرکنش نانوذرات نقره با پوشش پلی‌ایتلن گلیکول و هموگلوبین استفاده شده است و با استفاده از این روش‌ها، آثار نانوذرات بر ساختار دوم، تغییر در میزان آلفا‌هیلیکس و صفحات بتای پروتئین و همچنین تغییر در ساختار سوم و در نتیجه تغییر در عملکرد پروتئین بررسی شده است.

یافته‌ها: نتایج طیف‌سنجه فلورسانس و طیف‌سنجه جذبی مرئی ماورای بنفس نشان داد که ساختار محیط اطراف اسید‌آمینه تریپتوфан تغییر کرده و عملکرد فیزیولوژیکی هموگلوبین تحت تاثیر نانوذرات نقره با پوشش پلی‌ایتلن گلیکول قرار گرفته است. همچنین اتصال نانوذرات نقره پگیله به هموگلوبین سبب برخی تغییرها در شکل فضایی آن و در نتیجه افزایش آب‌گیری سطح شده است. این نانوذرات سبب افزایش نسبت دی‌اکسی و کاهش تمایل هموگلوبین نسبت به اکسیژن شده‌اند. این افزایش در بیشترین غلظت نانوذرات شش برابر حالت معمول است.

نتیجه‌گیری: نتایج حاصل نشان می‌دهد نانوذرات نقره پگیله با ایجاد تغییر در ساختمان دوم پروتئین و باز شدگی ساختار سوم هموگلوبین سبب تغییر در عملکرد پروتئین می‌شوند، بنابراین نانوذرات نقره پگیله با کاهش تمایل هموگلوبین نسبت به اکسیژن به اکسیژن قبل توجه عملکرد هموگلوبین منجر می‌شوند. با توجه به نتایج بدست آمده و اهمیت این‌یعنی زیستی در استفاده از ترکیب‌های نانو، پیشنهاد می‌شود با تغییر پوشش، اندازه یا شکل نانوذرات و انتخاب بهینه آن‌ها، از عوارض احتمالی نانوذرات بر ساختار و عملکرد پروتئین جلوگیری شود.

واژگان کلیدی: نانوذرات نقره پگیله، هموگلوبین، برهم کشن

مقدمه:

لیگاند‌های مختلف با این مولکول، می‌توانند به تغییر در عملکرد هموگلوبین (اتصال هموگلوبین خون یکی از پروتئین‌های مهم است که دارای ساختار کروی چهار زیر واحدی (اشامل دو زیر واحد آلفا و دو زیر واحد بتا) است. هر زیر واحد توانایی حمل یک مولکول اکسیژن را دارد. تغییرهای ساختاری ایجاد شده در اثر اتصال با

نویسنده مسئول: سمانه ذوالقدیری جهرمی
پست الکترونیک: z.jahromi@ut.ac.ir

پلی اتیلن گلیکول ۱۰ nm تهیه شده از شرکت Biocera کره جنوبی، همین (Hemin) خردیداری شده از شرکت سیگما، بافر فسفات ۱٪ مولار و pH ۷/۴ (نمک های مربوطه از شرکت مرک خردیداری شده است).

همچنین برای استخراج همگلوبین از خون تازه، سلیم سیترات ۴۰درصد (شرکت مرک) سالین، بافر فسفات ۲٪، مولار با $pH = 7\frac{1}{4}$ (شرکت مرک)، آب دوبار تقطیر سرد و نمک سولفات آمونیوم ۲۰درصد (شرکت مرک) استفاده شد.

(5)

pH متر (ساخت کشور سوییس)، همزن آزمایشگاهی (تکنوزن ساخت ایران)، ترازو از-آزمایشگاهی (ساخت کشور ژاپن) سانتریفیوژ (بکمن ساخت کشور آلمان)، دستگاه طیف سنجی فلورسانس (وریان ساخت کشور استرالیا)، دستگاه طیف سنجی دورنگ ننمایی دورانی (اویو ساخت کشور آمریکا)، دستگاه طیف سنجی مرئی مواردی بینش شیمیاتر و ساخت کشور ژاپن و کری ۱۰۰ ساخت استرالیا)، دستگاه الکتروفورز (ساخت اراده، گ ماستنچ تبت ایسوون، یحمدما (میکه) کا . ساخت کشم، آمریکا).

ش. ها

استخراج هموگلوبین از خون انسان:

برای استخراج هموگلوبین از خون تازه مراحل زیر به ترتیب انجام شد: ۹ میلی لیتر از خون تازه به یک میلی لیتر سدیم سیترات ۴ درصد اضافه شد. برای جدا کردن سرمه، محلول خونی به مدت ۱۵ دقیقه با ۳۰۰۰ دور سانتریفیوژ شد. نمونه سانتریفیوژ شده سریز شد. سپس معادل ۱۰ حجم سالین^۹ در صد اضافه شد. در مرحله بعد ۱۵ دقیقه با ۱۰ هزار دور سانتریفیوژ و بعد سریز شد. سپس ۵ حجم با فر فسفات^۲/۲ مولار pH ۷/۴ اضافه شد. این محلول به مدت ۱۵ دقیقه و با ۵ هزار دور سانتریفیوژ و سپس سریز شد. مرحله بعد آب دوبالر تقطیر سرد به اندازه ۴ برابر حجم رسوب برای لیزر کردن گلبول‌های قرمز افزوده شد. سپس به مدت ۱۰ دقیقه در دمای ۴ درجه سانتی‌گراد و دور ۱۸ هزار سانتریفیوژ انجام شد. محلول رویی را جدا کرده و سپس نمک سولفات آمونیوم ۲۰ درصد اضافه کرده و ۱۵ دقیقه در حالت ایستتا قرار داده و سپس با دور ۱۴ هزار در دمای ۲ درجه سانتی‌گراد به مدت یک ساعت سانتریفیوژ شد. به این ترتیب، محلول رویی که هموگلوبین است از رسوبی که شامل جداره سلول‌های است، جدا شد. سپس محلول رویی با بافر فسفات به مدت ۱۲ تا ۲۴ ساعت ۳ بار دیالیز شد. در مرحله آخر نمونه فریزن شد^{۲۹} [۲۸-۳۱-۶۴].

4

برای تایید تخلیص هموگلوبین استخراج شده از خون انسان، الکتروفوروز هموگلوبین با ژل پلی اکریلامید SDS انجام شده و با نمونه های شرکت مرک و سیگما مقایسه شد.

طف سنج UV-Visible

طیف جذبی مرئی مواری بیفش در محدوده ۵۰۰ تا ۲۷۵۰ نانومتر با استفاده از دستگاه اسپکتروفوتومتر ثبت شد. طیف سنجی های جذبی هموگلوبین، آپوهموگلوبین و $3-1/5$ میکرومولار در حضور و در غیاب غلاظت های مختلف لیگاند hemin (۰، ۱۸/۷، ۲۸، $37/4$ و 47 میکرومولار) انجام ک شد. تمامی آزمایش های طیف سنجی در pH $7/4$ و در دمای 37 درجه سانتی گراد و با سه بار تکرار انجام شده است.

iii

برای اندازه‌گیری شدت نشر فلورسانس ذاتی هموگلوبین و مطالعه تأثیر نانوذرات مختلف بر ساختار هموگلوبین از غلظت ۳ میکرومولار هموگلوبین استفاده شد. طول موج تحریک ۲۸۰ نانومتر بوده است. آزمایش‌ها در غلظت‌های مختلف نانوذرات و در دماهای ۳۷ درجه سانتی‌گراد و با سه بار تکرار، انجام شد. پنهانی شکافت نشر و جذب به ترتیب ۵ و ۱۰ نانومتر تنظیم شد. طول سل مورد استفاده یک سانتی‌متر بوده است.

طیف سنجی دو نگ نمای دو ان (Circular Dichroism (CD))

طیف سنجی CD براساس اختلاف جذب نور پالریزه چپ گرد و راست گرد است. طیف‌های در ناحیه فرابنفش (۱۹۰-۲۶۰ نانومتر) که منطبق بر جذب پیوندهای پیتندی است با دستگاه اسپکتروپالاریمتر اویو مدل ۲۱۵ (ایک وود ساخت آمریکا) مورد بررسی قرار گرفته است.

پروتئین‌های مختلف موجود در خون از جمله هموگلوبین سبب تغییرهایی در ساختار و عملکرد این مولکول‌های مهم شوند. لازم به ذکر است، اندازه مشابه این نانوذرات با ملکول‌های زیستی مانند پروتئین‌ها و اسیدهای نوکلئیک، همچنین پروتئیگی‌های رفتاری برخی از آن‌ها مانند رفتارهای مغناطیسی یا فلورسانس سبب استفاده روزافزون آن‌ها در علوم زیست‌شناسی و پژوهشی شده است [۲]. از سوی دیگر، پروتئین‌ها در راستای عملکرد بخشیدن به نانو مواد به کار می‌روند. همچنین از پروتئین‌هایی می‌توان در راستای احساس و تشخیص تا انتقال استفاده کرد. در مقابل، نانو مواد هم تاثیر قدرمندی بر ساختار و عملکرد پروتئین‌ها دارند که تلاش فراوانی برای فهم اصولی این اثراها در حال انجام است. فهم دقیق اندکنش پروتئین - نانو مواد می‌تواند در طراحی کاربردی پروتئین - نانو مواد مفید واقع شود که از چند زاویه از لحاظ صنعتی حائز اهمیت است: ۱- در طراحی زیست‌حسگرها - ۲- طراحی سیستم‌های انتقال دارو - ۳- ساخت نانو کامپوزیت‌های عملکردی - ۴- تصویربرداری مولکولی از سلول‌های زنده. علاوه بر جنبه صنعتی اندکنش پروتئین و آنریم با نانو مواد، جنبه پژوهشی و آثار زیان‌آور نانو مواد بر این ارگان‌ها به عنوان مهمنترین بخش موجود زنده و تغییر خصوصیات ساختاری و عملکردی آن‌ها نیز موضوع سیار مهemi است. در حال حاضر در جامعه پژوهشکی، این امر به خوبی پذیرفته شده است که سطح مواد در یک محیط زیستی، با جذب مولکول‌های زیستی مانند پروتئین‌ها تغییر می‌یابند [۱۲-۳] و این اجماع وجود دارد که پاسخ‌های سلولی به مواد در یک محیط زیستی بیش از این که ناشی از خود آن‌ها باشد، بازتاب لایی به زیستی جذب شده است [۳]. مطالعه‌های اولیه در زمینه بر هم کنش پروتئین‌ها با سطوح مختلف ناظر به این واقعیت است که ممکن است ساختار پروتئین نیز در اثر جذب تغییر کند. به همین منظور مطالعه اندکنش پروتئین‌ها و سطوح جدی به نظر می‌رسد [۱۷-۳]. با وجود این حقیقت که اولین برخورد نانوذرات پس از ورود به یک محیط فیزیولوژیک با پروتئین‌هاست اما د، این، سینه هنوز تحقیقه، کامل، انجام نشده است.

از میان نانوذرات، نانوذرات نقره در بخش پزشکی بیشترین درجه تجارتی شدن را به خود اختصاص داده است. ویژگی‌های آنتی باکتریال این نانوذرات حتی در غلظت‌های سیار کم هم قابل توجه است. دیدگاه افراد این است که این نانوذرات برخی موارد به نسبت غیررسمی هستند^[۱۸-۱۹]. مطالعه‌هایات دیگری نشان می‌دهد که نانوذرات نقره با پوشش سیترات خواص آنتی باکتریال قویتری نسبت به نانوذرات نقره بدون پوشش نشان می‌دهند^[۲۰]. هم چنین تاکنون مطالعه‌هایات مختلفی در رابطه با برهم کنش نانوذرات نقره با پروتئین ها، از جمله آلبومین و هموگلوبین انجام شده است. برهم کنش نانوذرات نقره با آلبومین سرم نشان می‌دهد که این نانوذرات سبب کاهش ساختارهای هلیکس آلبومین می‌شوند^[۲۱-۲۲]. این مطالعه‌هایات نشان می‌دهد پوشش نانوذرات نقره می‌تواند سبب کاهش اتصال آن ها با هموگلوبین و افزایش خاصیت آنتی باکتریال آن ها شود^[۲].

برهمن کش هموگلوبین با تعدادی از مولکول‌های کوچک دیگر مثل دی‌متیل‌سولفونکسید [۲۳]، مولکول‌های آب‌دست [۲۴] و هماتوپورفیرین‌ها [۲۶] گزارش شده است. همچنین جذب هموگلوبین روی نانوذرات سیلیسی، زیرکونیوم و تیتانیوم نیز مطالعه شده است [۲۷-۲۸]. در اثر اندرکنش لیگاندها با هموگلوبین ممکن است تغییرهایی در ساختار سوم هموگلوبین ایجاد شده و بنابراین تعادل $R \rightleftharpoons T$ را به سمت چپ یا راست جایه‌جا کند؛ بنابراین تغییر اتصال هموگلوبین به اکسیژن، اکاهاش، با افایش، دهد.

همان طور که اشاره شد تحقیقات نشان می دهد نانوذراتی که دارای پوشش مناسب هستند اثارات اثار کمتری بر سمیت سلولی دارند و بنابراین زیست سازگاری بیشتری از خود نشان می دهند. بنابراین هدف نهایی از انجام این تحقیق برسی آثار نانوذرات نقره پگیله با کاربردهای پزشکی و داروسازی بر گونه های مختلف موم گامو: است.

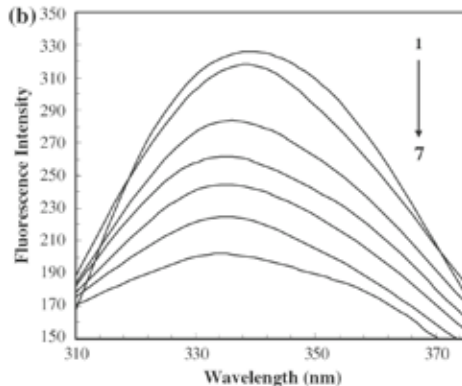
سیو سوپیں اسٹا

الفصل السادس

حدها مکانیزم انتقال این اثراخراجی را در نظر نمیگیرند.

ج: ویژگی‌های اتصال نانوذرات نقره به هموگلوبین به کمک روش فلوریمتری

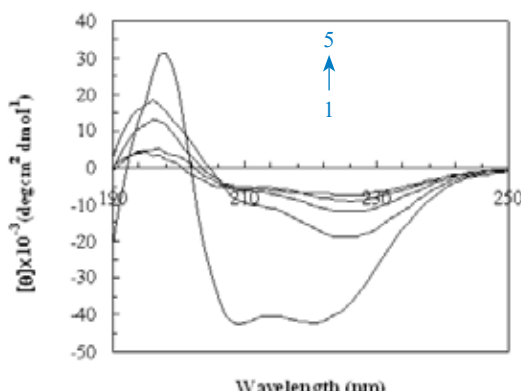
فلورسانس ذاتی پروتئین‌هایی که دارای اسید آمینه تیروزین یا تریپتوفان هستند یک شیوه مهم برای درک ویژگی‌های دینامیکی و کنفورماسیونی ماکرومولکول‌های زیستی به شمار می‌آید. هموگلوبین در هر دامیر $\square\square\square$ دارای سه اسید آمینه تریپتوفان و در مجموع دارای ۶ اسید آمینه تریپتوفان $\square\square\square$ -Trp, two $\square\square$ -Trp, one \square -Trp است. فلورسانس ذاتی هموگلوبین بیشتر ناشی از تریپتوفان \square -Trp است. این اسید آمینه در نزدیکی گروه هم قرار دارد [۳۳-۳۵]. طیف فلورسانس هموگلوبین در حضور و غیاب نانوذرات نقره و در دمای ۳۷ درجه سانتی‌گراد ثبت شد (شکل ۳). شکل نشان‌دهنده یک جایه‌جایی به سمت طول موج‌های کوتاه‌تر (جابجایی آبی) و کاهش شدت نشر ماکریسم در اثر افزایش غلظت نانوذرات است.



نمودار ۲: طیف فلورسانس هموگلوبین و نانوذرات نقره با پوشش پلی‌اتیلن گلیکول – هموگلوبین. غلظت هموگلوبین ۳ میکرومولار و غلظت نانوذرات نقره از ۱تا ۷ به ترتیب برابر با $0, 50, 100, 110, 130, 150$ میکرومولار می‌باشد. دما برابر با ۳۷ درجه سانتی‌گراد و pH ۷ می‌باشد.

د: مطالعه‌های دورنگ نمایی حلقوی

طیف CD هموگلوبین دارای دو کمینه در طول موج‌های ۲۰۸ و ۲۲۲ نانومتر است که نشان‌دهنده محتوای هلیکسی پروتئین است. شکل (۴) تغییر در طیف هموگلوبین را در اثر افزایش نانوذرات در دمای ۳۷ نشان می‌دهد. همان طور که در شکل قابل مشاهده است در اثر افزایش نانوذرات نقره به محلول هموگلوبین بیضیواری در دو طول موج ۲۰۸ و ۲۲۲ نانومتر تغییر معناداری نشان می‌دهد.



نمودار ۳: طیف دورنگ‌نمایی حلقوی هموگلوبین و هموگلوبین - نانوذرات نقره با پوشش پلی‌اتیلن گلیکول در دمای ۳۷ درجه سانتی‌گراد (pH ۷) و غلظت 0.25 mg/ml . هموگلوبین و غلظت نانوذرات نقره‌ها ۱ تا ۵ به ترتیب $0, 74/8, 37/4, 18/7, 0.25$ میکرومولار است.

هدف از آنالیز فوق دسترسی به میزان ساختارهای دوم منظم هموگلوبین بوده است. محلول‌های پروتئینی در بافر فسفات تهیه شده‌اند. از غلظت محلول پروتئینی ۲ میلی‌گرم بر میلی‌لیتر و غلظت‌های مختلف نانوذرات استفاده شد. از سل یک سانتی‌متری استفاده شد.

آزمایش‌های انجام شده در غیاب و حضور نانوذرات و با سه بار تکرار انجام شد. ضمن اینکه نانوذرات به مدت حداقل ۲ دقیقه با هموگلوبین انکوبه شدند. نتایج بر حسب بیضی واری به اندازه متوسط وزن مولکولی برای آمینو اسید ۱۱۵ ارائه شده است [۲۹-۳۲].

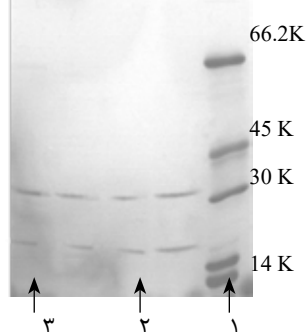
محاسبات آماری:

تمامی آزمایش‌ها با سه بار تکرار انجام شده است و نمودارها بر اساس میانگین و انحراف معیار و با استفاده از نرم‌افزار آکسل گزارش شده است.

یافته‌ها:

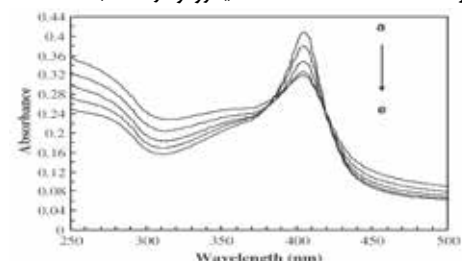
الف- الکتروفوروز هموگلوبین

اولین مرحله پس از استخراج هموگلوبین از خون انسان تعیین غلظت بود که با استفاده از معرف برادرفورد انجام شد. سپس نمونه‌ها روی ژل SDS مارک و چند نمونه استخراج شده توسط افراد دیگر بوزد تایید واقع شد (شکل ۱).



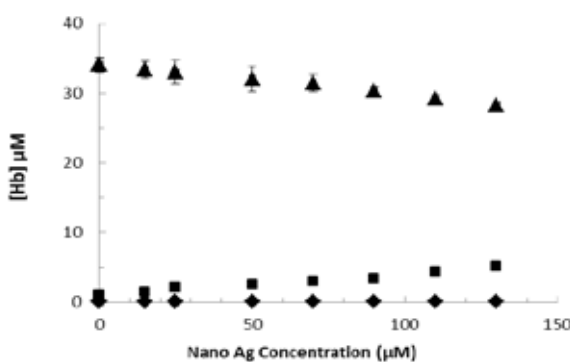
شکل ۱: بررسی تخلیص هموگلوبین بر روی ژل SDS-PAGE
۱ مارک وزن مولکولی، ۲ نمونه خالص شده هموگلوبین، ۳ هموگلوبین سیگما

ب: طیف جذبی برای بررسی اندرکنش نانوذرات نقره با هموگلوبین هموگلوبین دارای دو پیک جذبی در ۲۷۸ و ۴۰۶ نانومتر است. هموگلوبین دارای ۴ گروه هم در نزدیکی سطح است. پیک ۴۰۶ نانومتری مربوط به گروه هم و معروف به باند سورت است. این باند جذبی اطلاعاتی درباره تغییرهای کنفورماسیونی منطقه هم فراهم می‌آورد. طیف جذبی هموگلوبین در حضور و در غیاب نانوذرات نقره طیف جذبی هموگلوبین در حضور و غیاب نانوذرات نقره در شکل ۲ ترسیم شده است. همان طور که در شکل مشاهده می‌کنید با افزون غلظت نانوذرات به محلول هموگلوبین جذب در ناحیه سورت کاهش یافته است در حالی که در محل پیک تغییری مشاهده نمی‌شود. همچنان جذب پروتئین در ناحیه ۲۷۸ نانومتر افزایش نشان می‌دهد. در این آزمایش غلظت هموگلوبین $1/5$ میکرومولار و غلظت نانوذرات نقره $0, 0.28, 0.47, 0.74, 1.18$ میکرومولار انتخاب شده است.



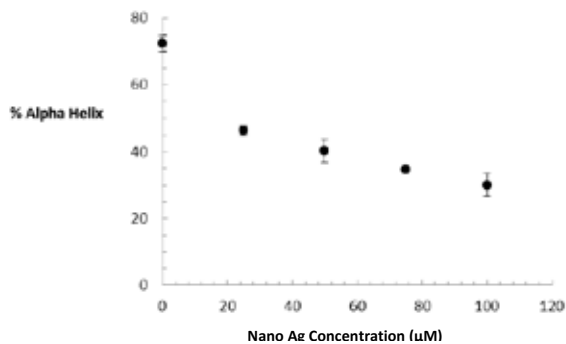
نمودار ۱: طیف جذبی هموگلوبین و نانوذرات نقره با پوشش پلی‌اتیلن گلیکول – هموگلوبین. غلظت هموگلوبین $1/5$ میکرومولار و غلظت نانوذرات نقره برابر با $a=0, b=0.28, c=0.47, d=0.74, e=1.18$ میکرومولار است. دما برابر با ۲۰ درجه سانتی‌گراد pH ۷/۴ است.

در بیشترین غلظت نانوذرات شش برابر حالت معمول است.

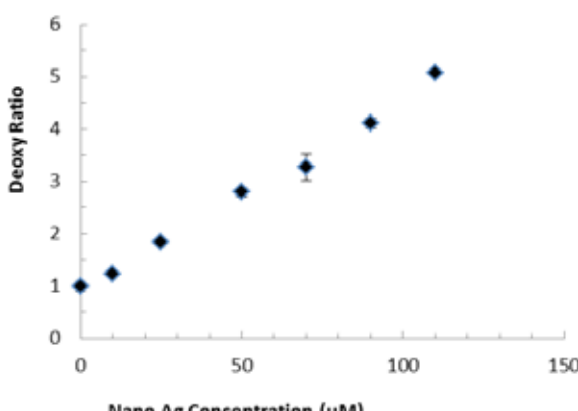


نمودار ۵: نمودار غلظت لیگاند (نانوذرات نقره با پوشش پلی اتیلن گلیکول) علیه غلظت گونه‌های اکسی (▲)، دی اکسی (■) و مت (◇) هموگلوبین. نمودار بر اساس میانگین و انحراف معیار گزارش شده است.

با آنالیز داده‌های حاصل از طیف سنجی دورنگنمایی حلقوی توسط نرم‌افزار CDNN مشخص شد که نانوذرات نقره سبب کاهش ساختار هلیکسی هموگلوبین و افزایش ساختار بتای آن شده‌اند. به طور کلی ۷۴ درصد از ساختار طبیعی هموگلوبین دارای ساختار آلفا هلیکس و ۵/۸ درصد دارای ساختار هلیکس و ۱۰ درصد طبیعی هموگلوبین در غیاب نانوذرات دارای ۷۰ درصد ساختار هلیکس و ۳۷ درصد ساختار بتا بوده است. افزودن نانوذرات در بیشترین غلظت در دمای ۳۷ درجه سانتیگراد سبب کاهش بیش از ۶ درصد از ساختار آلفا (شکل ۵) و در حدود ۲۰ درصد افزایش ساختار بتا شده است.



نمودار ۴: کاهش هلیسیتی هموگلوبین در اثر افزایش نانوذرات نقره در دمای ۳۷ درجه سانتیگراد. نمودار بر اساس میانگین و انحراف معیار گزارش شده است.



نمودار ۶: نمودار غلظت لیگاند (نانوذره نقره با پوشش پلی اتیلن گلیکول) علیه نسبت دی اکسی هموگلوبین. نمودار بر اساس میانگین و انحراف معیار گزارش شده است.

بحث و نتیجه گیری:

بررسی‌های انجام شده در این تحقیق نشان داد که نانوذره نقره با پوشش پلی اتیلن گلیکول، اثر قابل توجهی بر ساختار و عملکرد هموگلوبین دارند. همان‌طور که نتایج طیفسنجی مرئی مواردی بنفش نشان داد، با افزودن غلظت نانوذرات به محلول هموگلوبین جذب در ناحیه سورت کاهش می‌یابد. در حالی که در محل پیک تغییری مشاهده نمی‌شود. همچین طیف جذبی پروتئین در ناحیه ۲۷۸ افزایش نشان داد. این تغییرهای طیفی معنادار نشان می‌دهد. گروههای هم متصل به پروتئین مورد هدف نانوذرات نقره با پوشش پلی اتیلن گلیکول قرار گرفته‌اند و سبب تغییر موقعیت هم در جایگاه خود شده است.

همچین با آنالیز داده‌های حاصل از طیفسنجی دو رنگنمایی حلقوی مشخص شد که نانوذرات نقره سبب کاهش ساختار هلیکسی هموگلوبین و افزایش ساختار بتای آن شده‌است. به طوری که در بیشترین غلظت نانوذرات بیش از ۵۰ درصد از ساختار آلفا کاسته شده و در حدود ۲۰ درصد به ساختار بتا افزوده شده است. به عبارت دیگر افزودن نانوذرات به هموگلوبین سبب تغییر در ساختار دوم هموگلوبین و انتقال ساختار از هلیکس به بتا گردیده است. با افزایش محتواهای بتا نیز آبگریزی پروتئین تغییر از هلیکس می‌یابد. این نتیجه همسو با نتایج یک محقق هندی است که نشان داد در اثر برهم‌کنش هموگلوبین با نانوذرات نقره به واسطه افزایش ساختارهای بتا تغییرهای ساختاری گسترشده‌ای رخ می‌دهد [۳۸]. همچنین در تحقیق دیگری برای

۵: تأثیر نانوذرات بر گونه‌های مختلف هموگلوبین

در یک محلول هموگلوبین، شکل‌های مختلفی از هموگلوبین با غلظت‌هایی مشخص دیده می‌شود که عبارت است از شکل اکسی، دی اکسی و مت هموگلوبین. شکل اکسی هموگلوبین همان شکل اکسیژن‌دار هموگلوبین و دی اکسی هموگلوبین شکل بدون اکسیژن هموگلوبین است. مت هموگلوبین حالتی بین اکسی و دی اکسی هموگلوبین بوده که در آن آهن در حالت اکسید Fe^{3+} و کوفورماسیون شل (R) قرار داشته و قادر به حمل اکسیژن نیست [۲۷]. برای تعیین غلظت گونه‌های مختلف هموگلوبین در محلول از روابط زیر استفاده می‌شود.

$$[\text{met}] = (2.6828 A_{630} + 0.174 A_{576} - 0.3414 A_{560}) \times 10^{-4} \text{ M}$$

$$[\text{deoxy}] = (1.335 A_{560} - 0.7356 A_{576} - 0.6254 A_{610}) \times 10^{-4} \text{ M}$$

$$[\text{oxy}] = (1.0154 A_{576} - 0.2772 A_{630} - 0.742 A_{560}) \times 10^{-4} \text{ M}$$

در این مطالعه، به منظور جلوگیری از تشکیل شکل‌های دایمر هموگلوبین از نمونه هموگلوبینی با غلظت بالا (mg/ml 6-4) استفاده شده است.

همان‌طور که در شکل ۶ مشاهده می‌شود با افزایش غلظت نانوذرات نقره از شکل اکسیژن‌دار هموگلوبین کاسته شده و به شکل بدون اکسیژن آن افزوده می‌گردد. در حالیکه در غلظت شکل مت هموگلوبین تغییری حاصل نشده است.

و بررسی عملکرد هموگلوبین در حضور نانوذرات با استفاده از نسبت دی اکسی

با استفاده از نسبت دی اکسی به جای P50 (پشاری که در آن ۵۰ درصد هموگلوبین از اکسیژن اشباع شده باشد) می‌توان تمايل هموگلوبین برای اتصال به اکسیژن را بررسی کرد. زیرا در تعادل $T \leftrightarrow R$ (ساختار سخت \leftrightarrow ساختار شل) هر عاملی که شکل T یا دی اکسی را بیشتر افزایش دهد باعث کاهش تمايل هموگلوبین به اکسیژن می‌شود. نسبت دی اکسی عبارت است از غلظت شکل دی اکسی در حضور لیکاند تقسیم بر غلظت شکل دی اکسی همان نموده در غیاب لیکاند. شکل ۷ میزان تأثیر نانوذرات نقره را بر نسبت دی اکسی نشان می‌دهد. این نانوذره سبب افزایش نسبت دی اکسی و کاهش تمايل هموگلوبین نسبت به اکسیژن می‌شود. این افزایش

آبی) و شدت نشر ماکریزم نیز کاهش می‌یابد. به نظر می‌رسد کاهش شدت نشر فلورسانس در اثر افزودن نانوذرات گویای این است که محل اتصال نانوذرات در نزدیکی تریپتوфан است. تعییر در طول موج ماکریزم و کاهش آن به سمت طول موج‌های کوتاه تر نیز نشان دهنده افزایش آبگریزی سطح پروتئین در اثر افزایش غلظت نانوذرات نقره است.

محدودیت‌های تحقیق: با توجه به هزینه‌های مواد و تعدد روش‌های بررسی، تعداد تکرارها سه بار انتخاب شد که تکرار بیشتر آب شده نانوذرات، در برخی از روش‌ها به دلایل مختلف از جمله خطای آزمایش، از نتایج حذف شد.

نتیجه‌گیری: بر اساس آنچه گفته شد تعییر در خصوصیات رفتاری و عملکردی هموگلوبین می‌تواند آثار زیان‌آوری را بر موجودات زنده داشته باشد. از آنجا که تعییرهای کنفورماتیونی القایی حاصل از اندرکنش نانومواد با پروتئین‌های خون به عنوان آثار مخرب این ترکیب‌ها مطرح است، در نتیجه نتایج حاصل می‌تواند اطلاعات مفیدی برای شناسایی و معرفی ترکیب‌هایی با عوارض جانی و سمیت کمتردرا اختیار ما قرار دهد. از نتایج این تحقیق می‌توان دریافت که اتصال نانوذرات نقره به هموگلوبین سبب تعییر ساختار آن شده است به نحوی که در اثر این تعییر ساختار محتواهی هلیکسی آن کاهش و بر محتواهی بتای آن افزوده شده است. به بیان دیگر ساختار پروتئین تا حد زیادی باز شده است نتیجه این امر می‌تواند افزایش آبگریزی سطح پروتئین باشد که آن نیز به آغاز پدیده خودتجمیعی هموگلوبین منجر می‌شود. انعکاس این تعییر عملکرد پروتئین نیز مشهود است به طوری که این تعییرهای ساختاری به تعییر در سطح پاکت آبگریز هم نیز منجرگردیده است؛ بنا بر تمایل اتصال هموگلوبین نیز تاثیر گذاشته است و برخلاف آنچه انتظار می‌رفت پوشش پلی اتیلن گلیکول منجر به عدم ایجاد برهم کنش بین نانوذرات نقره با هموگلوبین نشد. هر چند این احتمال وجود دارد که نانوذرات نقره بدون پوشش اثرات شدیدتری بر ساختار و عملکرد هموگلوبین از خود بر جای بگذراند. به این ترتیب با توجه به نتایج حاصل از این تحقیق پیشنهاد می‌گردد برای استفاده از نانوذرات در کارهای درمانی، عوارض جانی آن‌ها از جمله برهmekنشهای احتمالی با پروتئینها مدنظر قرار گیرد و پوشش، اندازه و شکلی از نانوذرات استفاده شود که کمترین اثرات سوء بر سایر ملکول‌ها بر جا گذارد.

منابع:

- Gao X, Cui Y, Levenson RM, Chung LWK, Nie S: In vivo cancer targeting and imaging with semiconductor quantum dots. *Nat Biotechnol* 2004; 22, 969.
- Ferrari M: Cancer nanotechnology: opportunities and challenges . *Nat Rev Cancer* 2005; 5, 161.
- Lynch I: Detecting Cryptic Epitopes Created by Nanoparticles, *Science STKE* 2006;327, 14
- Cedervall T, Lynch I, Lindman S, Berggård T, Thulin E, Nilsson H, et al: Understanding the nanoparticle–protein corona using methods to quantify exchange rates and affinities of proteins for nanoparticles. *Proc Natl Acad Sci USA* 2007; 104, 2050
- Gan S, Zhong L, Han D, Niu L, Chi Q: Probing Bio-Nano Interactions between Blood Proteins and Monolayer-Stabilized Graphene Sheets. *Small*. 2015 ;11(43):5814-25.
- Norde W, Gage D: Interaction of Bovine Serum Albumin and Human Blood Plasma with PEO-Tethered Surfaces: Influence of PEO Chain Length, Grafting Density, and Temperature. *Langmuir* 2004; 20, 4162
- Allen LT, Tosetto M, Miller IS, O'Connor DP, Penney SC, Lynch I, et al: Surface-induced changes in protein adsorption and implications for cellular phenotypic responses to surface interaction. *Biomaterials* 2006; 27, 3096
- Gray JJ: The Interaction of Proteins with Solid Surfaces. *Curr Opin Struct Biol* 2004; 14, 110
- Wilson CJ, Clegg RE, Leavesley DI, Pearcey MJ.: Mediation of biomaterial-cell interactions by adsorbed proteins: a review. *Tissue Eng* 2005; 11, 1
- Engel MF, Visser AJ, van Mierlo CP.: Conformation and orientation of a protein folding intermediate trapped by adsorption. *Proc Natl Acad Sci USA* 2004; 101, 11316
- Cummings CL, Gawlitza D, Nerem RM, Stegemann JP: Properties of engineered vascular constructs made from collagen, fibrin, and collagen-fibrin mixtures. *J Biomaterial* 2004; 25, 3699
- Chen CS, Alonso JL, Ostuni E, Whitesides GM, Ingber DE.: Cell shape provides global control of focal adhesion assembly. *Biochem Biophys Res Commun*.2003; 307, 355
- Saptarshi SR1, Duschl A, Lopata AL: Interaction of nanoparticles with proteins: relation to bio-reactivity of the nanoparticle. *J Nanobiotechnology*. 2013; 11, 26.
- Mohd SA, Hamad AL, Ayman MA, Abdelrahman O E, Sami AAH. Interaction of human serum albumin with silver nanoparticles functionalized with polyvinylthiol. *Journal of Molecular Liquids*. 2015;204, 248-254
- Lindman S, Lynch I, Thulin E, Nilsson H, Dawson KA, Linse S: Systematic investigation of the thermodynamics of HAS. *Nano Lett* 2007; 7, 914
- Dutta D, Sundaram SK, Teeguarden JG, Riley BJ, Fifield LS, طیف فلورسانس هموگلوبین در حضور نانوذرات نقره نشان داد که در اثر افزایش غلظت نانوذرات طول موج ماکریزم به سمت طول موج‌های کوتاه تر (جابجایی

- Jacobs JM, et al: Adsorbed proteins influence the biological activity and molecular targeting of nanomaterials. *Toxicological Sciences*. 2007;100, 303–315.
17. Sabatino P, Casella L, Granata A, Iafisco M, Lesci IG, Monzani E, et al: Synthetic chrysotile nanocrystals as a reference standard to investigate surface-induced serum albumin structural modifications. *J Colloid Interface Sci* 2007; 314, 389
18. Jeong SH, Hwang YH, Yi SC, Antibacterial properties of padded PP/PE nonwovens incorporating nano-sized silver, *J Mater Sci* 2005; 40, 5413–5418.
19. Chen X, Schluesener HJ, Silver nanoparticle: a nanoproduct in medical application, *Toxicol Lett* 2008;176, 1–12.
20. Divya PG, Midhun BT, Rony T, Ashok MR and Dipshikha C. Interaction of silver nanoparticles with serum proteins affects their antimicrobial activity in vivo. *antimicrob agents chemother*. 2013 ; 57(10): 4945–4955.
21. AL-Thabaiti NS, Malik MA, Khan Z. Protein interactions with silver nanoparticles: Green synthesis, and biophysical approach. *International Journal of Biological Macromolecules*. 2017;95,421-428
22. Rahmani S, Mogharizadeh L, Attar F, Rezayat SM, Mousavi SE and Falahati M. Probing the interaction of silver nanoparticles with tau protein and neuroblastoma cell line as nervous system models, *Journal of Biomolecular Structure and Dynamics* 2017
23. DOI: 10.1080/07391102.2017.1407673 23 Songqin L, Zhihui D, Hongyuan C, Huangxian J. Immobilization of hemoglobin on zirconium dioxide nanoparticles for preparation of a novel hydrogen peroxide biosensor. *Biosensors and Bioelectronics*. 2004; 19, 963–969
24. De S, Girigowami A: A fluorimetric and circular dichroism study of Hemoglobin:effect of pH and anionic amphiphiles. *J Colloid Interface Sci* 2006; 296, 324.
25. Cheng Y, Lin HK, Xue DP, Li RC, Wang K: Lanthanide ions induce hydrolysis of Hemoglobin-bound. *Biochim Biophys Acta* 2001; 1535, 200.
26. Susmita Sil, Tania Bose, Dibyendu Roy, Abhay Sankar Chakraborti. Protoporphyrin IX-induced structural and functional changes in human red blood cells, haemoglobin and myoglobin. *J Biosci*. 2004; 29(3), 281
27. Shuizhen Z, Yong C, Yuming Z, Huangxian Ju. Hydrogen peroxide biosensor based on hemoglobin modified zirconia nanoparticles-grafted collagen matrix. *Analytica Chimica Acta* 2007; 582, 361–366.
28. Devineau S, Zargarian L, Renault JP, Pin S. Structure and Function of Adsorbed Hemoglobin on Silica Nanoparticles: Relationship between the Adsorption Process and the Oxygen Binding Properties. *Langmuir*. 2017;33(13),3241.
29. Khodarahmi R, Maghsoudi S, Rahi H, Hamzehee K, Zamaheni S, Davarpanah E. Evidence of human hemoglobin interaction with chorionic gonadotropin hormone: Prospects for the use of hemoglobin as ligand in affinity chromatography for the purification of the hormone. *Journal of Paramedical Sciences*. 2014;5(3), 31
30. Andrade CT, Barros LA, Lima MC, Azero EG. *Int J Biol Macromol*. 2004;34(4):233-40.
31. D'Alessandro A, Blasi B, D'Amici GM, Marrocco C, and Zolla L. Red blood cell subpopulations in freshly drawn blood: application of proteomics and metabolomics to a decades-long biological issue. *Blood Transfus*. 2013;11(1): 75–87.
32. Norma JG. Using circular dichroism spectra to estimate protein secondary structure. *Nat Protoc*. 2006; 1(6), 2876.
33. Zolghadri S, Saboury AA, Amin E, Moosavi-Movahedi AA. A spectroscopic study on the interaction between ferric oxide nanoparticles and human hemoglobin. *Journal of the Iranian Chemical Society* 2010;7,145
34. Goldbeck RA, Esquerra RM, Kliger DS: Hydrogen Bonding to Trp β 37 Is the First Step in a Compound Pathway for Hemoglobin Allostery. *J Americ Chem Soc* 2002;124, 7646.
35. Venkateshrao S, Manoharan PT: Fluorescence Study on Reconstituted Hemoglobins. *Spectrochim Acta Part A* 2004; 60, 2523.
36. Kong J, Yu : Fourier transform infrared spectroscopic analysis of protein secondary structures. *Acta Biochim Biophys Sin* 2007; 39,549
37. Asghari Khiavi M, Mechler A, Bambery K, McNaughton D and Wood B. A resonance Raman spectroscopic investigation into the effects of fixation and dehydration on heme environment of hemoglobin. *Journal of Raman Spectroscopy* 2009;, 40. 1668
38. Mahato M, Pal P, Tah B, Ghosh M, Talapatra GB.. Study of silver nanoparticle–hemoglobin interaction and composite formation *Colloids and Surfaces B: Biointerfaces* 2011; 88, 141.
39. Bhattacharya J, Choudhuri U, Siwach O, Sen P, Dasgupta AK. Interaction of hemoglobin and copper nanoparticles: implications in hemoglobinopathy .*Nanomedicine* 2006 ; 2(3), 191.
40. Yang W, Sun L, Weng J, Chen L, Zhang Q.. Probing the interaction of bovine haemoglobin with gold nanoparticles *IET Nanobiotechnology* 2012; 6, 26.
41. Shen XC, Liu XY, Liang H, Lu X: Spectroscopic Studies of Interaction between Bovine Hemoglobin and Ag Nanoparticles. *Acta Chimica Sinica* 2006; 64, 469.